

Рис. 2.1.3. Карта-схема забруднення території України ^{137}Cs [5] (станом на 1 липня 1985 р.)

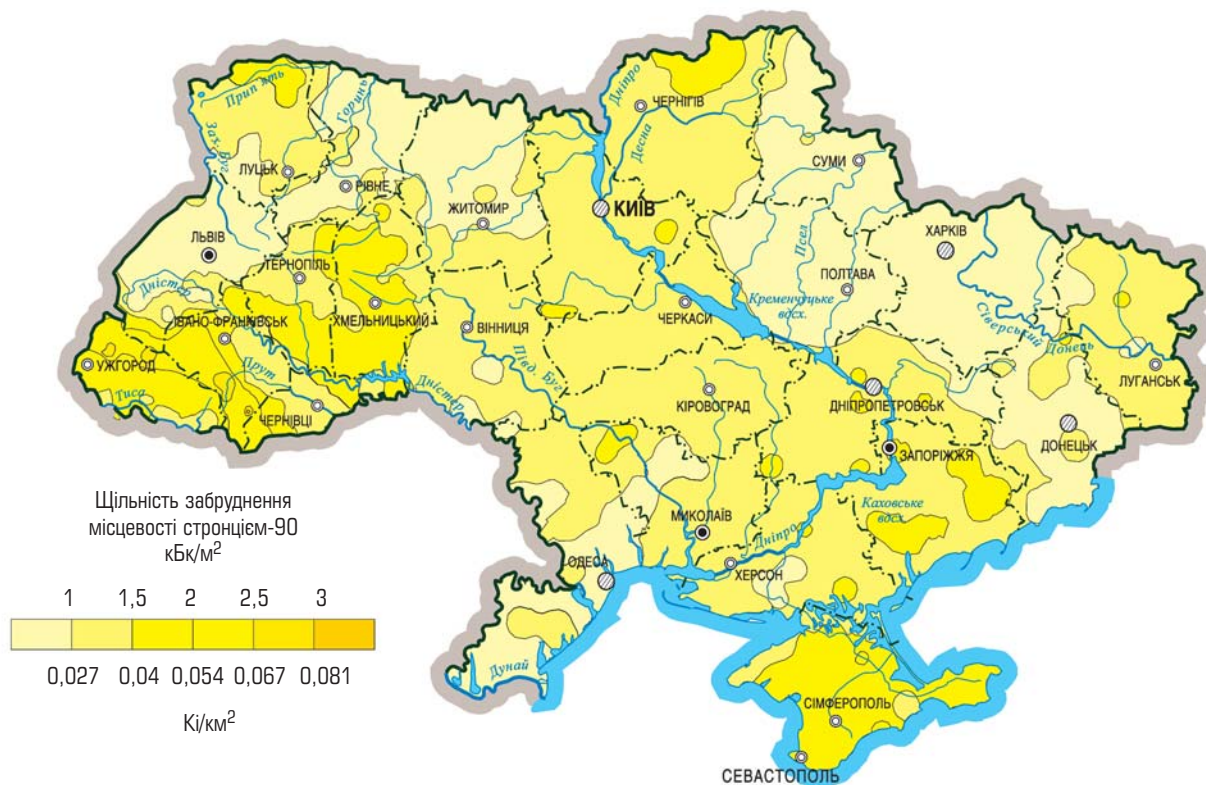


Рис. 2.1.4. Карта-схема забруднення території України ^{90}Sr [5] (станом на 1 липня 1985 р.)

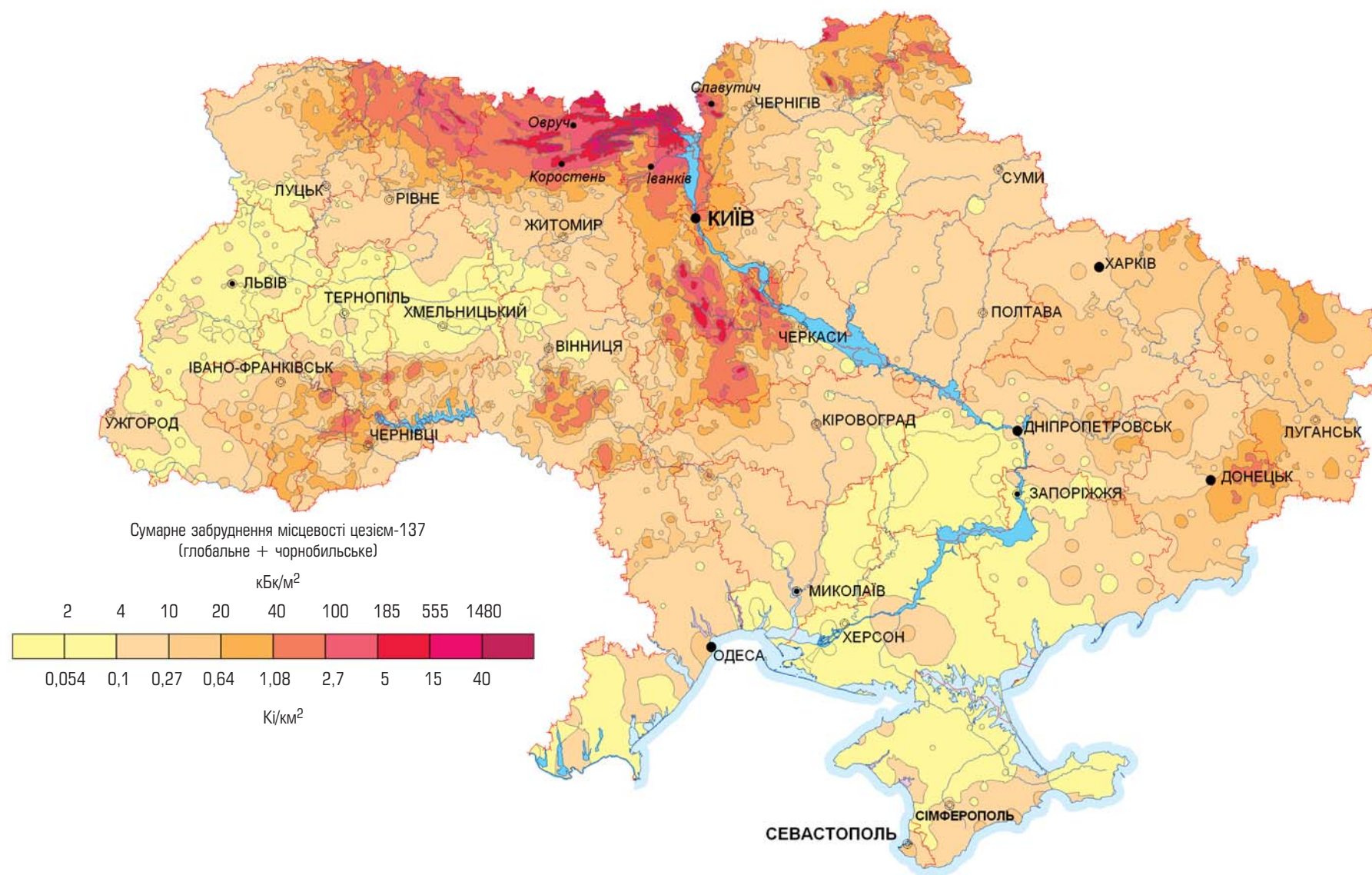


Рис. 2.2.1. Стан забруднення території України ¹³⁷Cs після аварії в 1986 р.

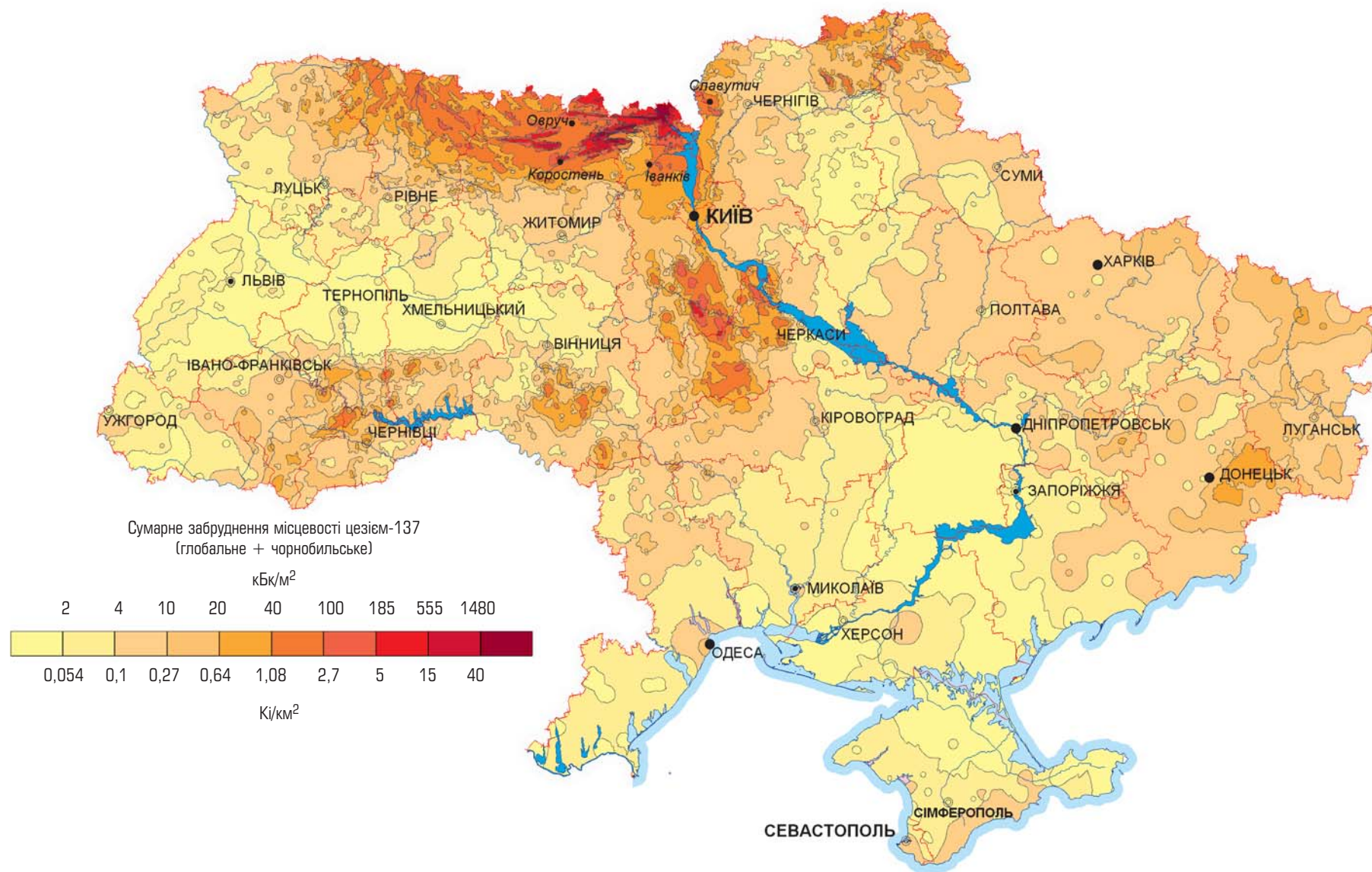


Рис. 2.2.2. Стан забруднення території України ^{137}Cs до 2006 р.

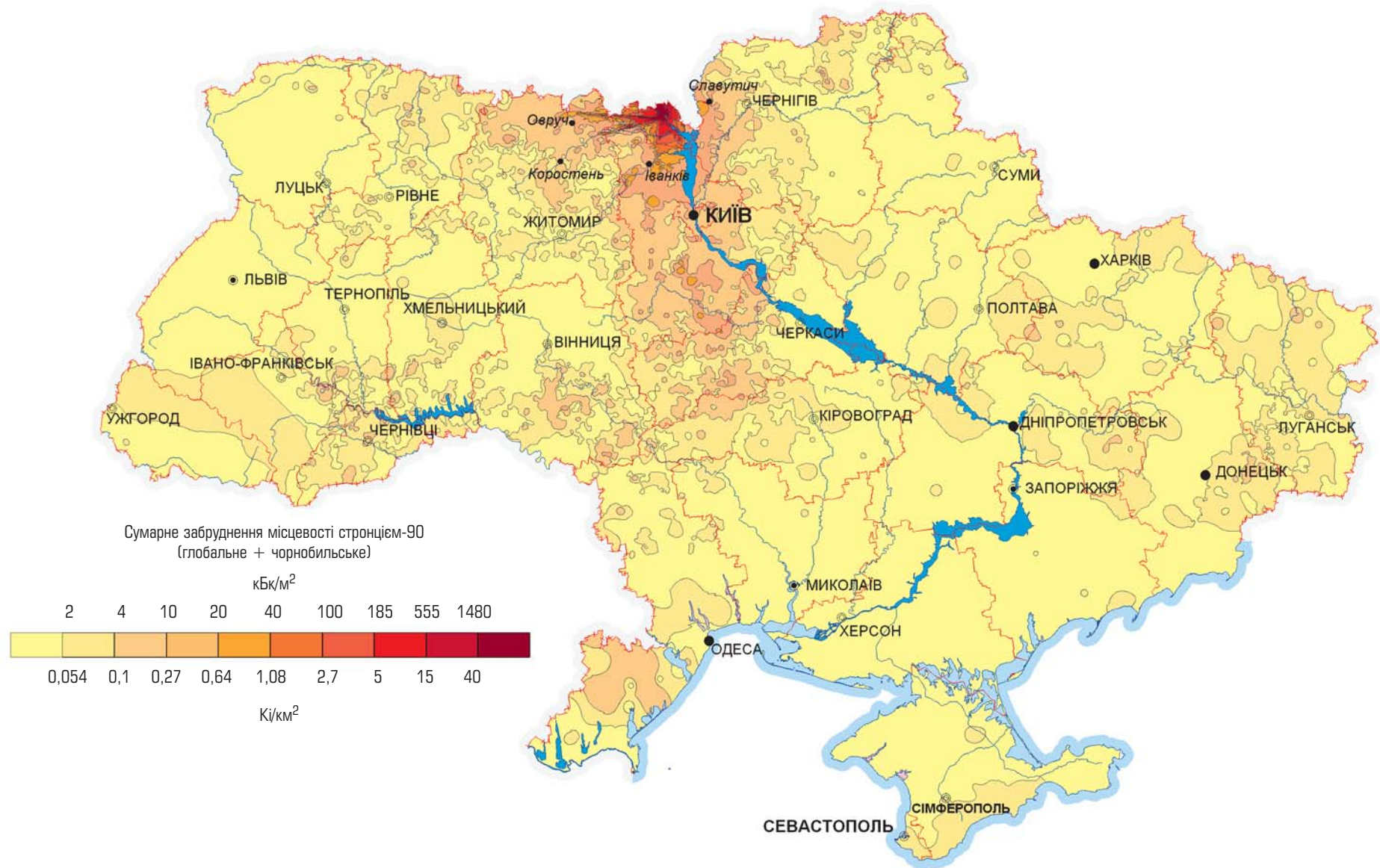


Рис. 2.2.3. Стан забруднення території України ⁹⁰Sr в 1986 р.

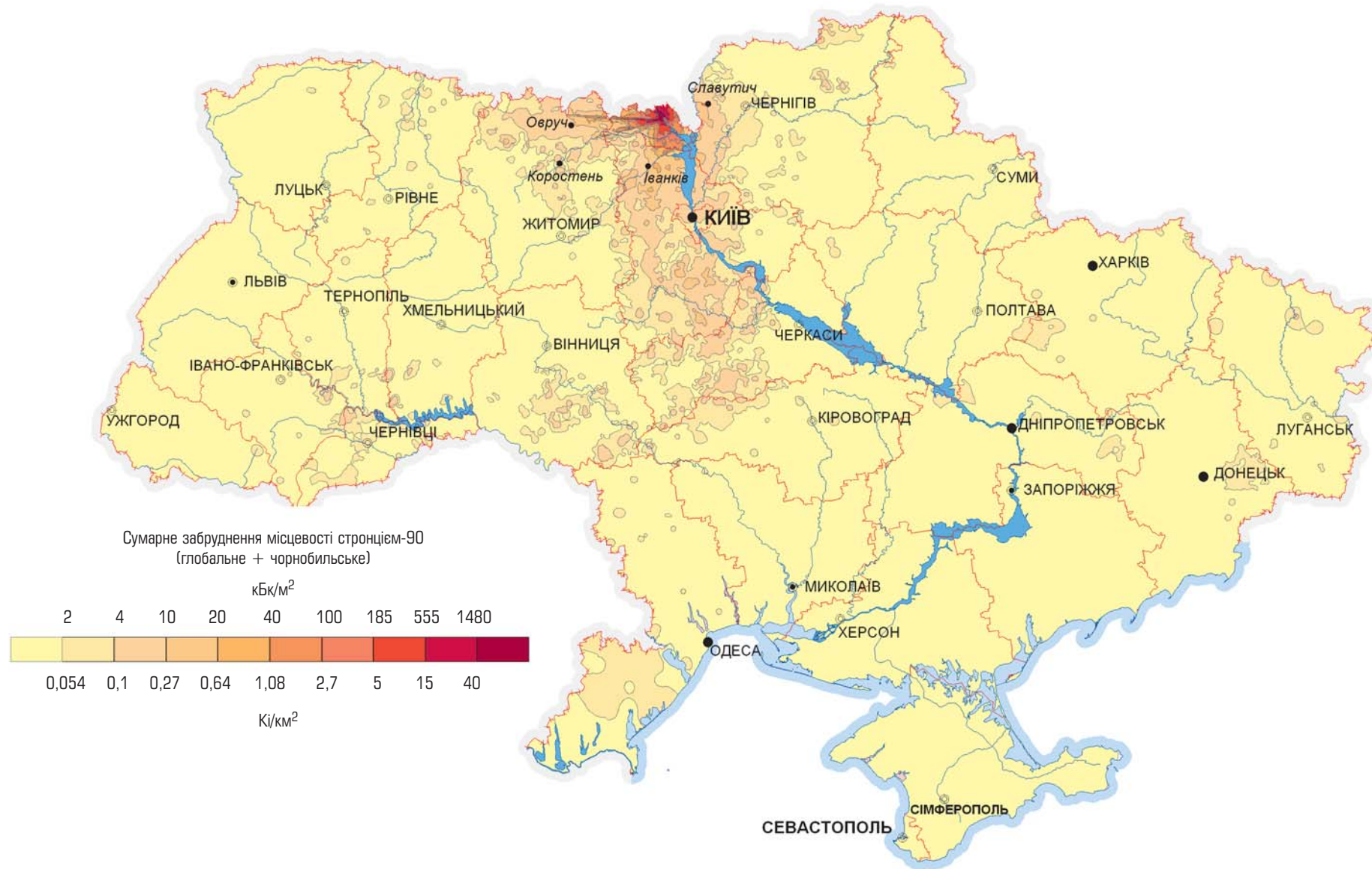


Рис. 2.2.4. Стан забруднення території України ⁹⁰Sr до 2006 р.

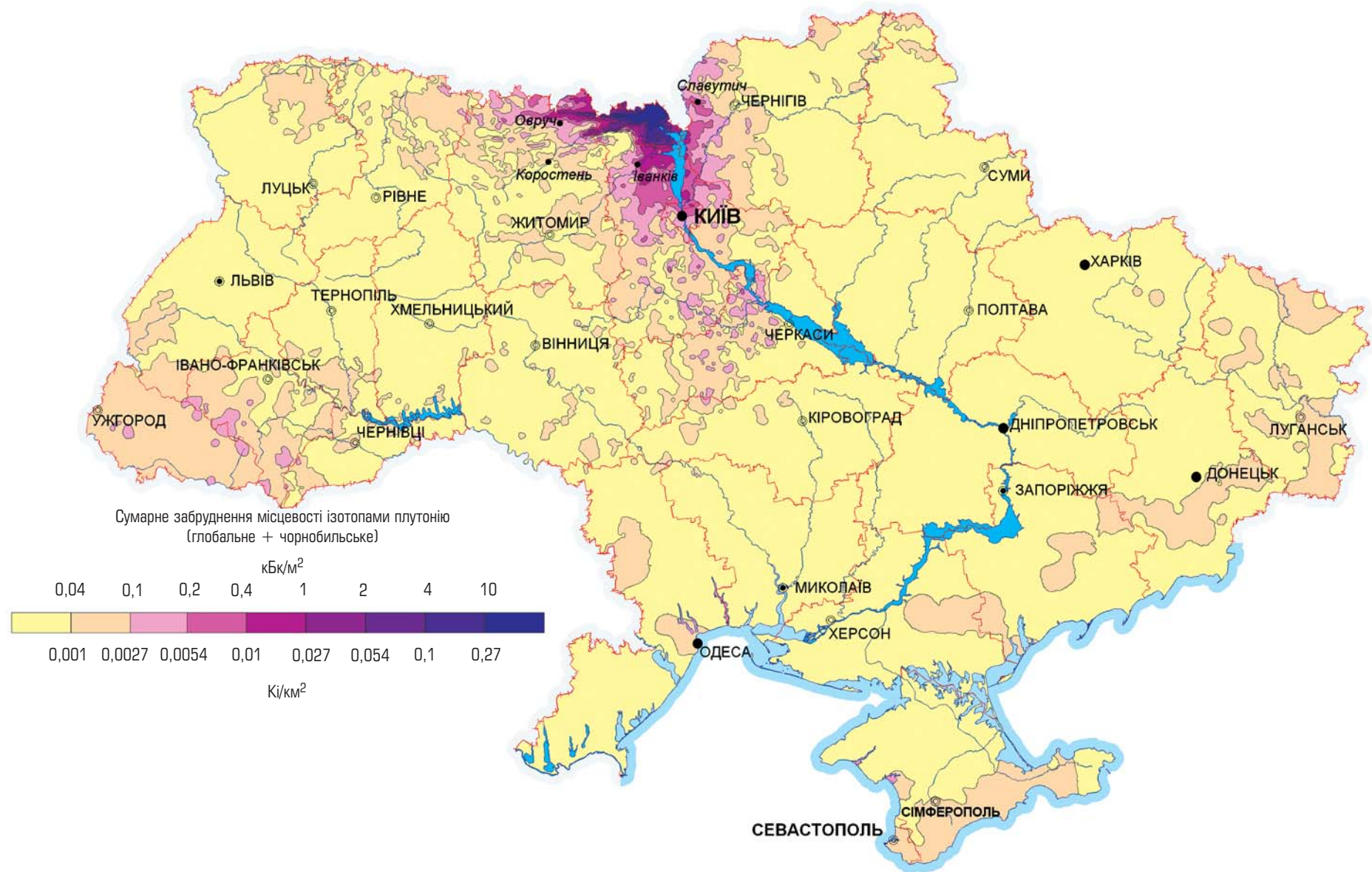


Рис. 2.2.5. Оцінка стану забруднення території України ізотопами плутонію (Атлас, 2001)

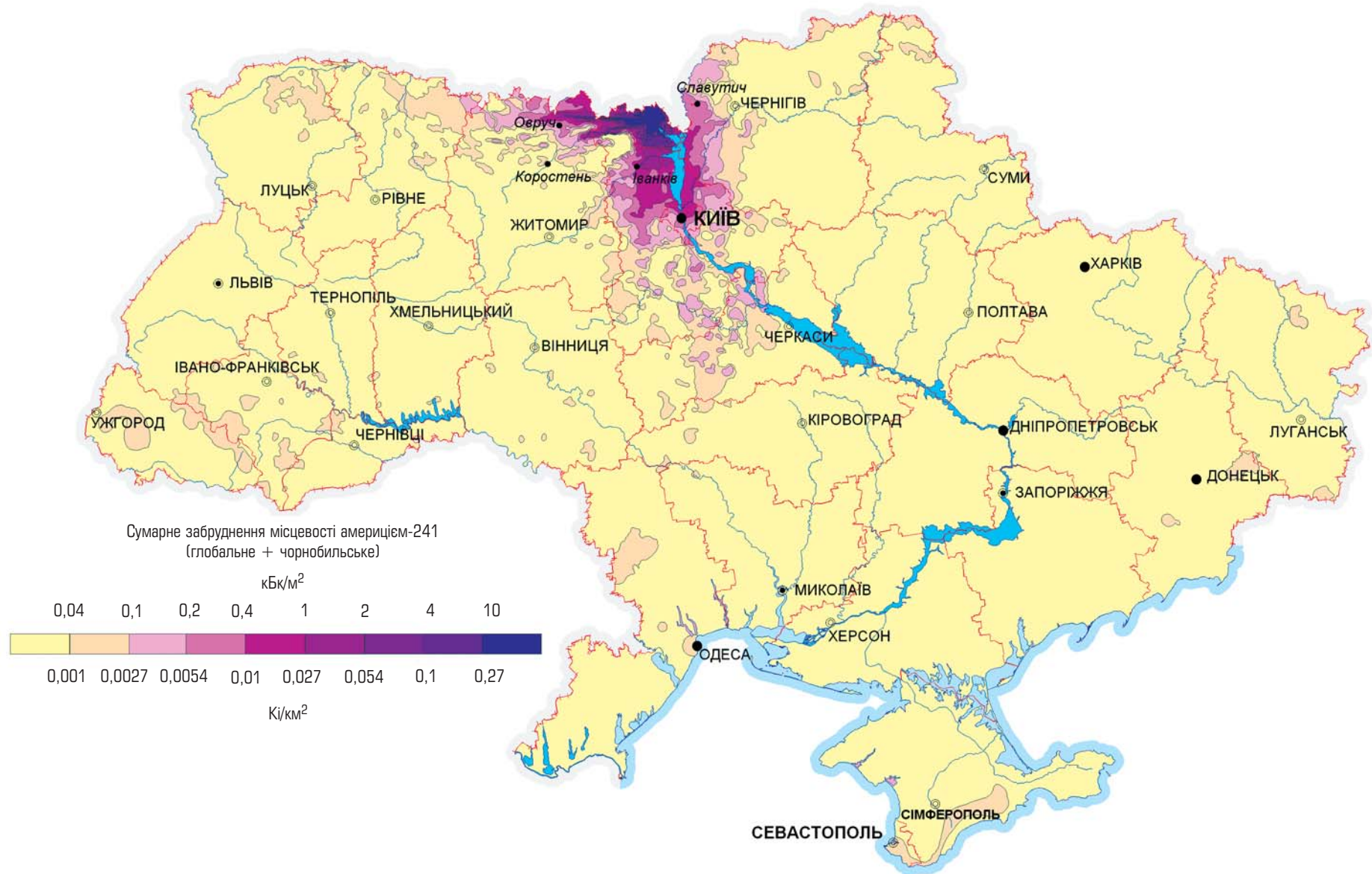


Рис. 2.2.6. Прогнозна оцінка стану забруднення території України ²⁴¹Am

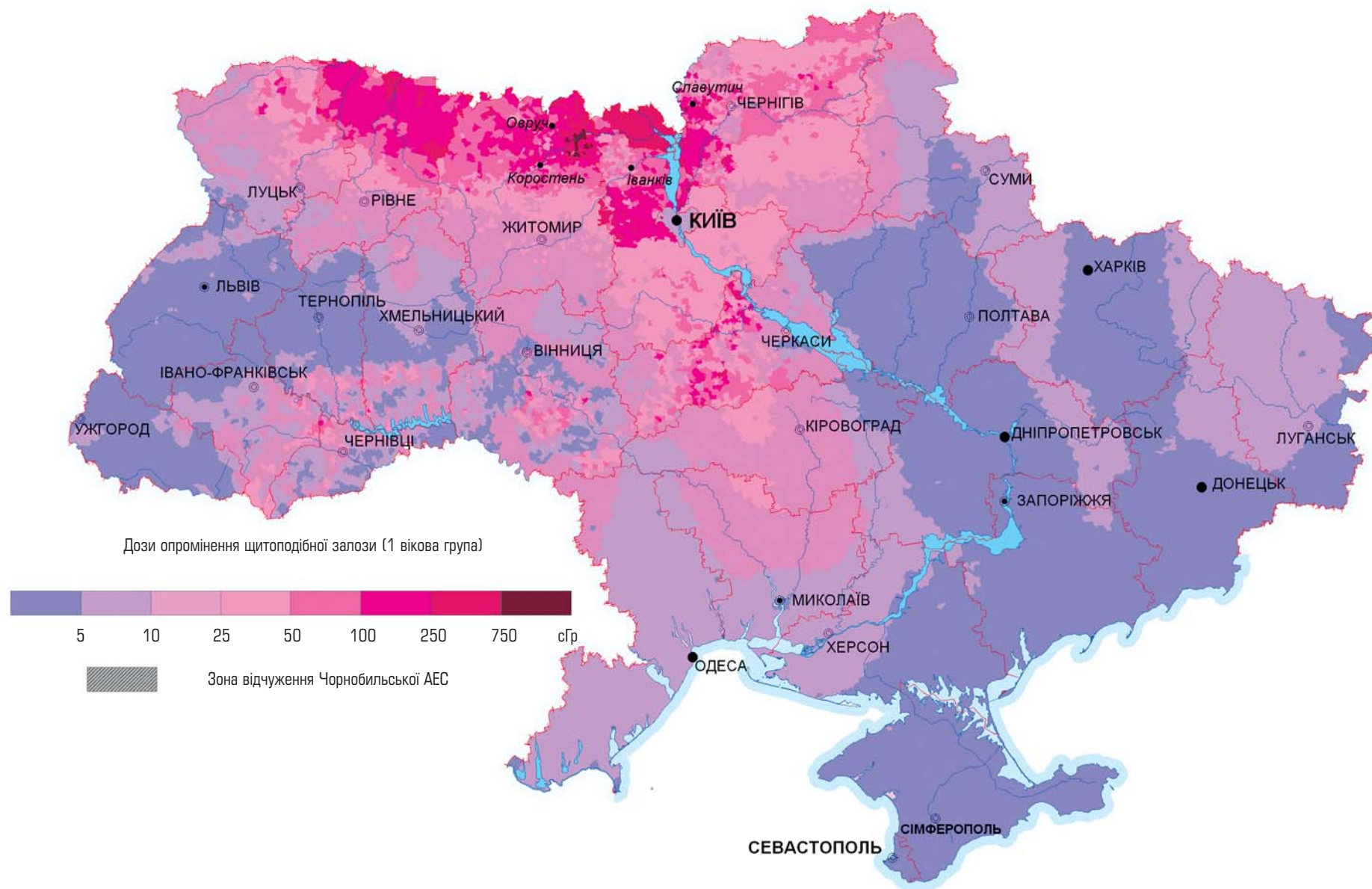
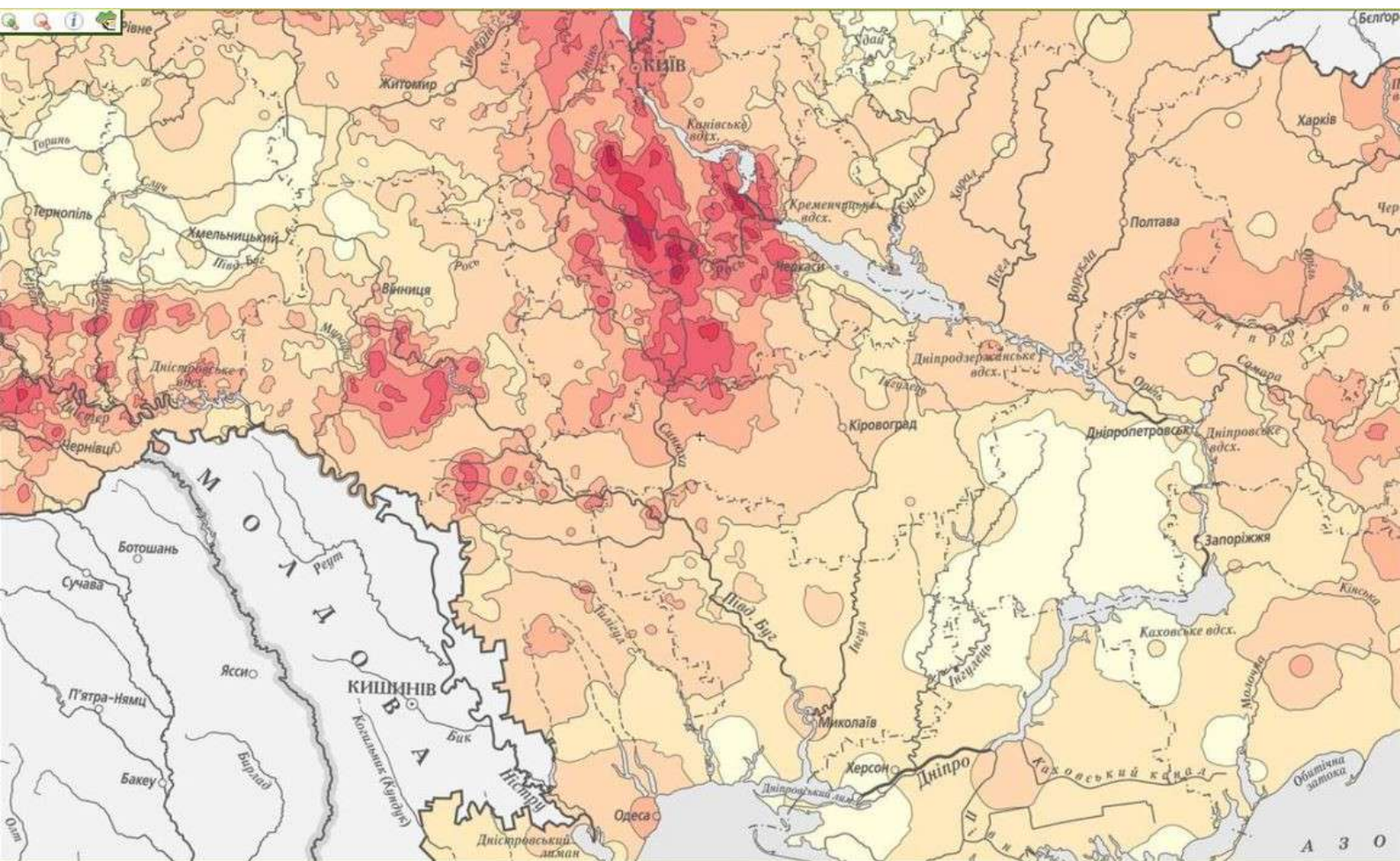
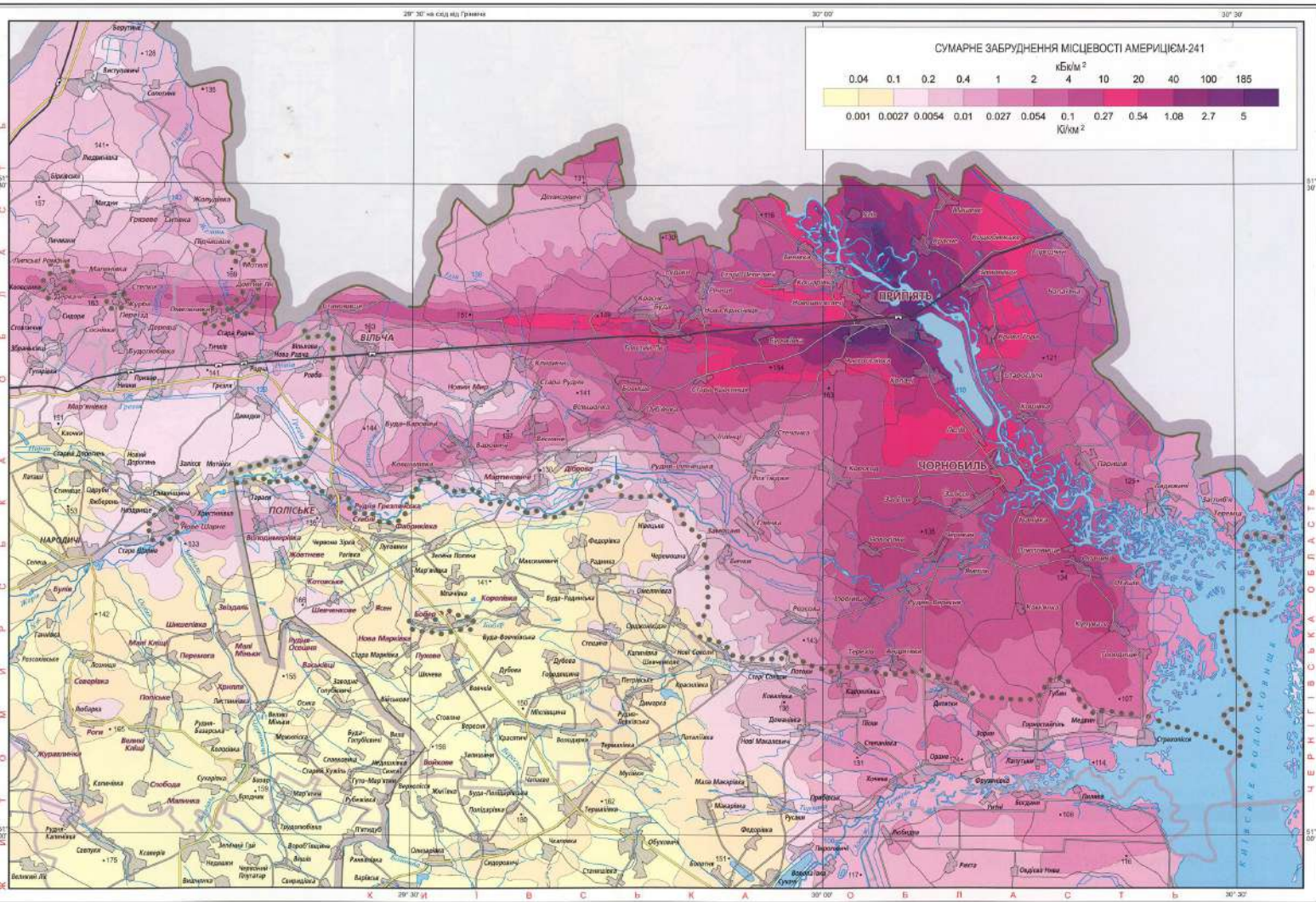


Рис. 2.2.7. Оцінка поширення ізоотопів йоду на території України у концентраціях, що викликають перевищення нормативу дози опромінення щитоподібної залози (Атлас, 2001)



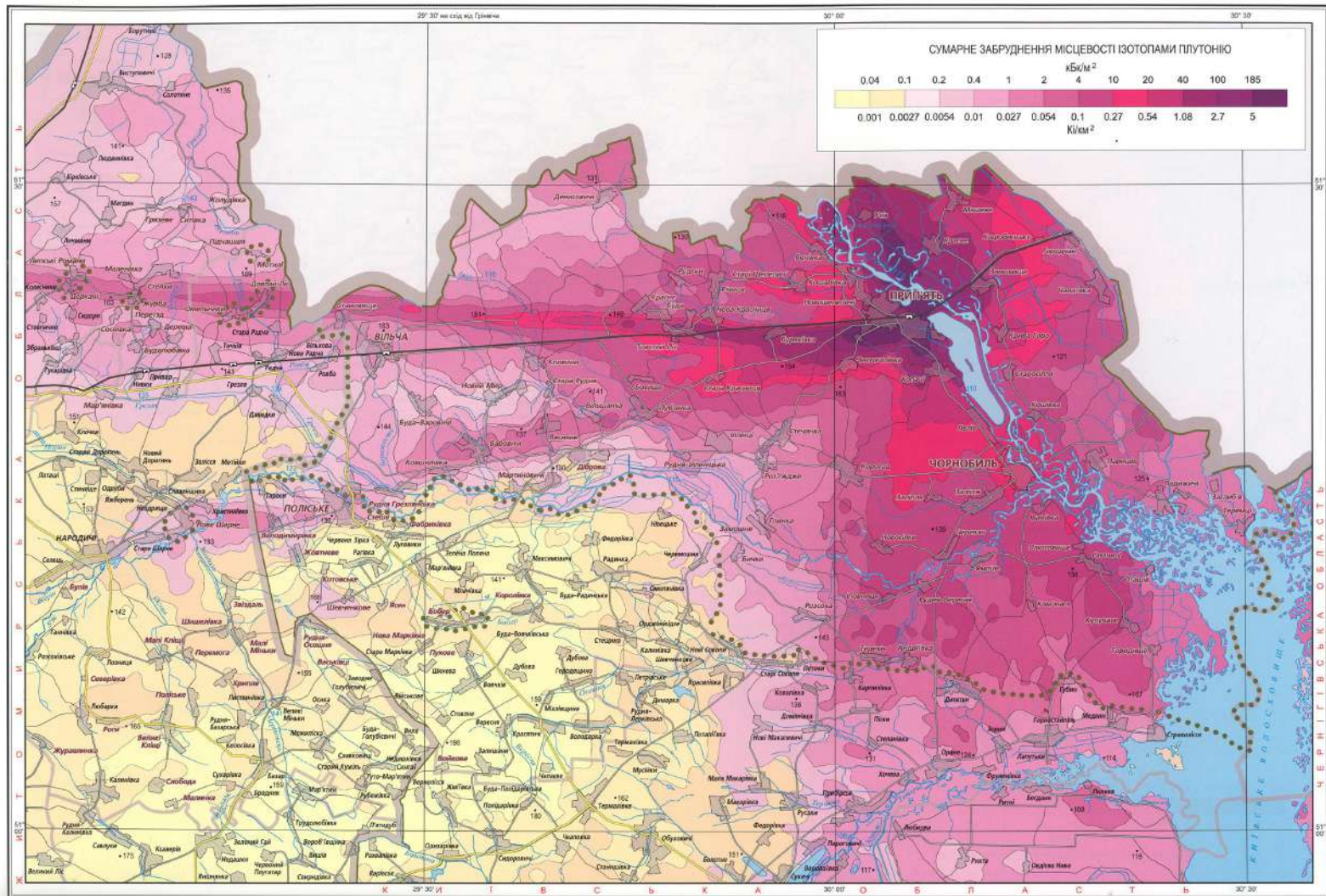
Забрудненість території цезієм-137 (наслідок аварії на Чорнобильській атомній електростанції, 1986 р.)

ЗАБРУДНЕННЯ ЗОНИ ВІДЧУЖЕННЯ АМЕРИЦІЄМ-241

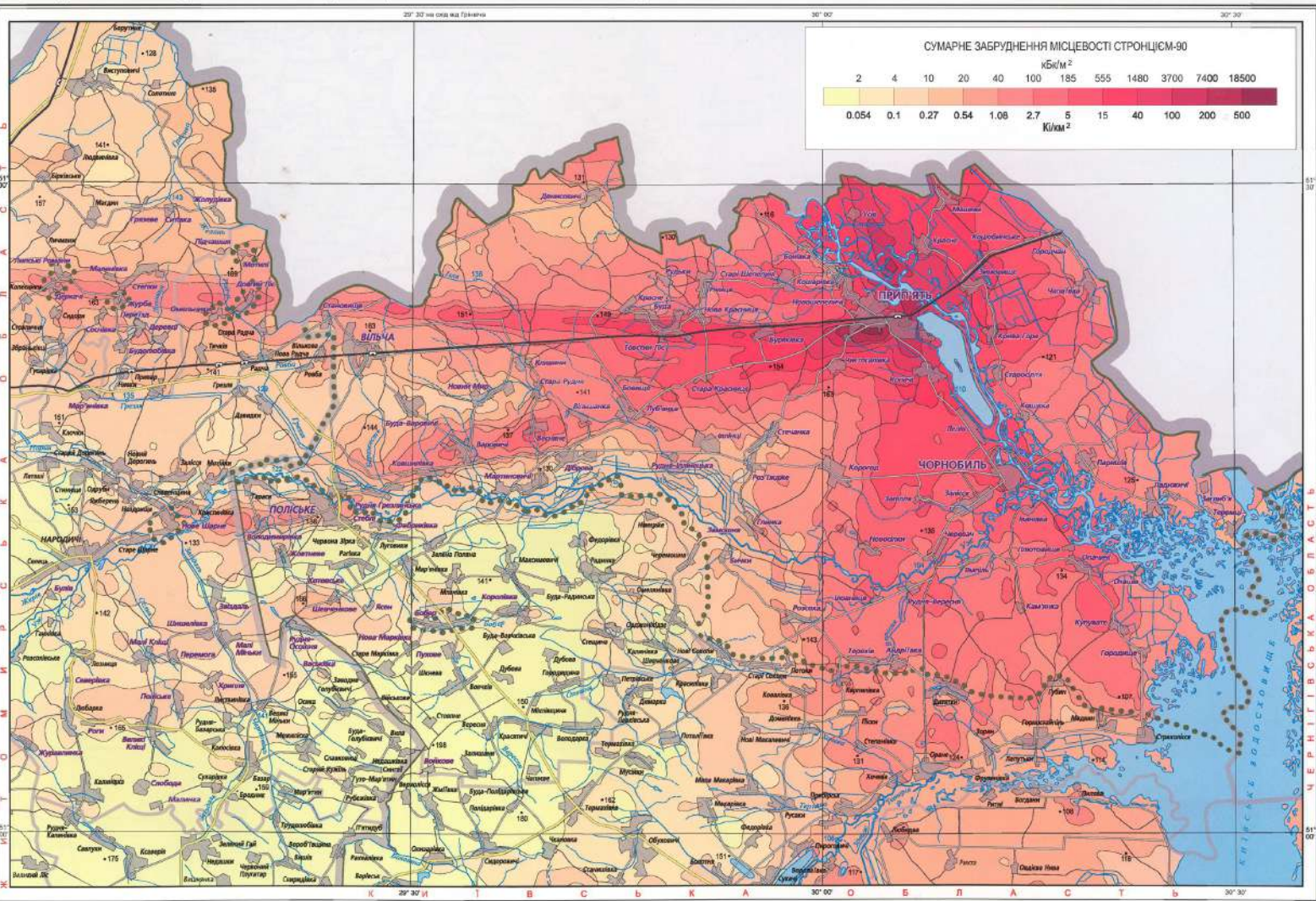


Масштаб 1:300 000

ЗАБРУДНЕННЯ ЗОНИ ВІДЧУЖЕННЯ ІЗОТОПАМИ ПЛУТОНІЮ



ЗАБРУДНЕННЯ ЗОНИ ВІДЧУЖЕННЯ СТРОНЦІЄМ-90 (СТАН НА 10 ТРАВНЯ 2011 РОКУ)



ЗАБРУДНЕННЯ ЗОНИ ВІДЧУЖЕННЯ ЦЕЗІЄМ-137 (СТАН НА 10 ТРАВНЯ 2011 РОКУ)

